

ЭКСПЕРИМЕНТАЛЬНАЯ ПРОВЕРКА РАСЧЕТНЫХ ДАННЫХ КВАЗИОБРАТИМЫХ ЭЛЕКТРОДНЫХ ПРОЦЕССОВ

М. С. ЗАХАРОВ, Л. Ф. ЗАИЧКО

(Представлена научным семинаром лаборатории МП)

В настоящей работе предлагаются уравнения вольт-амперных кривых в АВН при ЛМП на ртутном, пленочном и сферическом электродах и приводится экспериментальная проверка теоретических выводов.
Уравнение для тока имеет вид

$$i(t) = zFSK_s \left\{ \exp \left[-\frac{\alpha zF}{RT} (\varphi - \varphi_0) \right] C_0(O,t) - \exp \left[\frac{\beta zF}{RT} (\varphi - \varphi_0) \right] C_R(O,t) \right\},$$

где z — число электронов, участвующих в электродном процессе на один атом; F — число Фарадея; S — поверхность электрода; K_s — константа скорости электродного процесса при стандартном потенциале электрода; α и β — коэффициенты переноса; R — газовая постоянная; T — температура, К°; $C_0(O,t)$ и $C_R(O,t)$ — концентрации окисленной и восстановленной форм элемента у поверхности электрода.

Подставляя выражения для $C_0(O,t)$ и $C_R(O,t)$ для любой формы изменения потенциала плоского и сферического электродов, полученные соответственно в работах [1, 2], получим уравнения вольт-амперных кривых для квазиобратимых электродных процессов: для пленочного (плоского) электрода

$$q(t) = \frac{i(t)}{zFS} = ae^{y_1} \left(C_0^0 + \frac{I_3}{V\pi D_0} \right) - be^{y_2} \left(C_R^0 - \frac{I_1}{e} \right),$$

для сферического электрода

$$q(t) = \frac{i(t)}{zFS} = ae^{I_1} \left(C_0^0 + \frac{I_3}{V\pi D_0} - \frac{I_4}{r_0} \right) - be^{I_2} \left(C_R^0 - \frac{I_2}{r_0} \right), \quad (3)$$

$$b = K_s \exp \left[\frac{\beta zF}{RT} (\varphi_i - \varphi_0) \right], \quad a = K_s \exp \left[-\frac{\alpha zF}{RT} (\varphi_i - \varphi_0) \right],$$

$$I_1 = \int_0^t q(\xi) \left\{ 1 + 2 \sum_{n=1}^{\infty} \exp \left[-\mu_n^2 - \frac{D_R}{e} (t - \xi) \right] \right\} d\xi,$$

$$I_2 = \int_0^t q(\xi) \left\{ 3 + 2 \sum_{n=1}^{\infty} \exp \left[-\mu_n^2 \frac{D_R}{r_0} (t - \xi) \right] \right\} d\xi,$$

$$I_3 = \int_0^t \frac{q(\xi)}{\sqrt{t-\xi}} d\xi; \quad I_4 = \int_0^t q(\xi) \exp \frac{D}{r_0^2} (t-\xi) \sqrt{\frac{D}{r_0^2} (t-\xi)} d\xi.$$

ξ — вспомогательная переменная; D_R, D_0 — коэффициенты диффузии восстановленной и окисленной форм элемента; l, r_0 — толщина пленки и радиус сферы; t — время; μ_n — корни уравнений для пленочного электрода $\mu_n = n\pi$, для сферического электрода $\operatorname{tg}\mu = \mu$; $y_1 = -\frac{\alpha z F}{RT} \omega t$; $y_2 = \frac{\beta z F}{RT} \omega t$; ω — скорость изменения потенциала электрода.

Уравнения (2) и (3) численным интегрированием были приведены к алгебраическим уравнениям и рассчитаны на электронно-вычислительной машине М-20. Расчеты проводились при следующих условиях: $t=25^\circ$, $D_0=D_R=0.74 \cdot 10^{-5} \text{ см}^2/\text{сек}$, $\alpha=\beta=0.5$, $z=2$.

Расчетные вольт-амперные кривые имеют характерный пик. По полученным пикам построены графики: q_{\max} , ω ; $\Delta\phi$, ω ; $\Delta\phi(e, r_0)$; $(\varphi_p - \varphi^\circ)\omega$; $(\varphi_p - \varphi^\circ)$, $e(r_0)$;

φ_n — потенциал максимума пика; $\Delta\phi$ — ширина полуника. Расчетные данные были проверены экспериментально на примере процесса электроокисления амальгамы меди на фоне 1 М KNO₃. В исследуемых условиях для этого процесса величина $K_s = 2 \cdot 10^{-3} \text{ см}^2/\text{сек.}^*$. Для устранения влияния п. а. в. на электродный процесс вся посуда промывалась концентрированной серной кислотой; вода, применявшаяся в исследованиях, перегонялась с KMnO₄; соль KNO₃ подвергалась перекристаллизации.

Результаты некоторых исследований представлены на рис. 1, а—4, б. Из рисунков видно, что теоретические (а) и экспериментальные кривые по своему характеру хорошо совпадают друг с другом.

Отметим некоторые характерные величины и зависимости: при $\omega \rightarrow 0$ на пленочном электроде для изучаемого процесса в соответствии с теорией $\Delta\phi \approx 40 \text{ мв}$, а $\Delta\phi$ и $(\varphi_p - \varphi^\circ)$ с изменением ω и e изменяются линейно. На электродах с ртутными пленками толщиной 4 и 8 мк в соответствии с теорией $q_{\max} = K\omega$ (K — коэффициент пропорциональности). Остальные характеристики и зависимости можно проследить на рисунках.

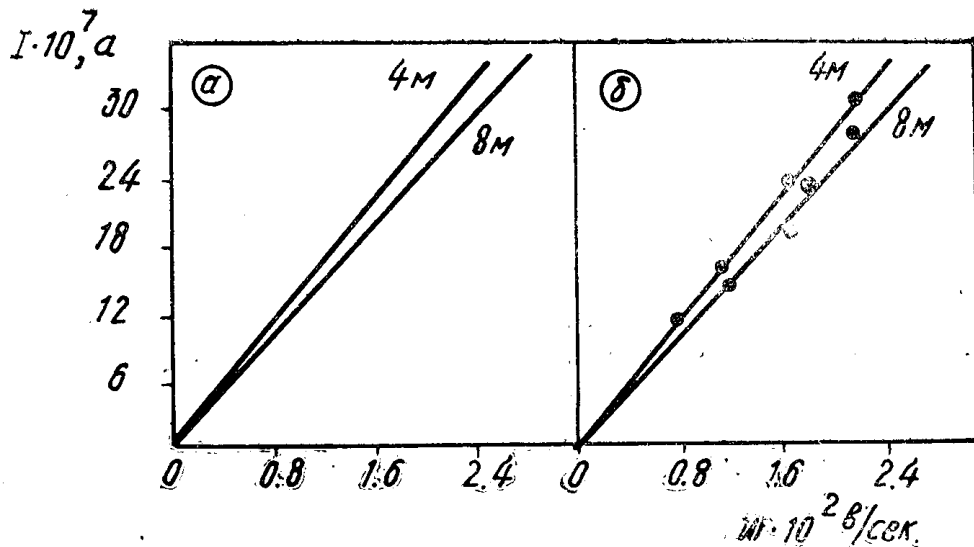


Рис. 1. а — теоретическая и б — опытная зависимости высоты пика от ω для пленочного электрода ($e=4; 8 \mu$)

* Определялась методом АВН при постоянном токе [3].

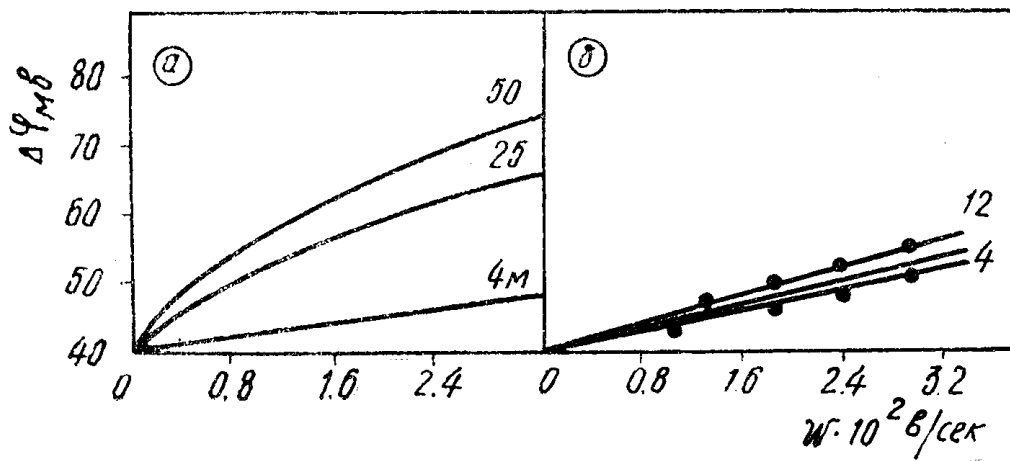


Рис. 2. а — теоретическая и б — экспериментальная зависимости $\Delta\varphi$ от ω для пленочного электрода ($l=4; 8; 12; 25; 50 \mu$)

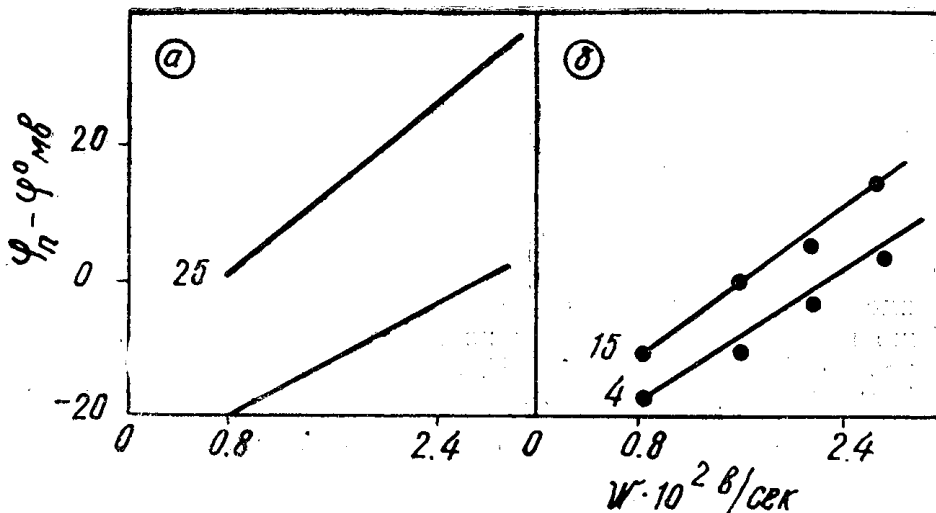


Рис. 3. а — теоретическая и б — экспериментальная зависимости Φ_n от ω для пленочного электрода ($l=4; 16; 25 \mu$)

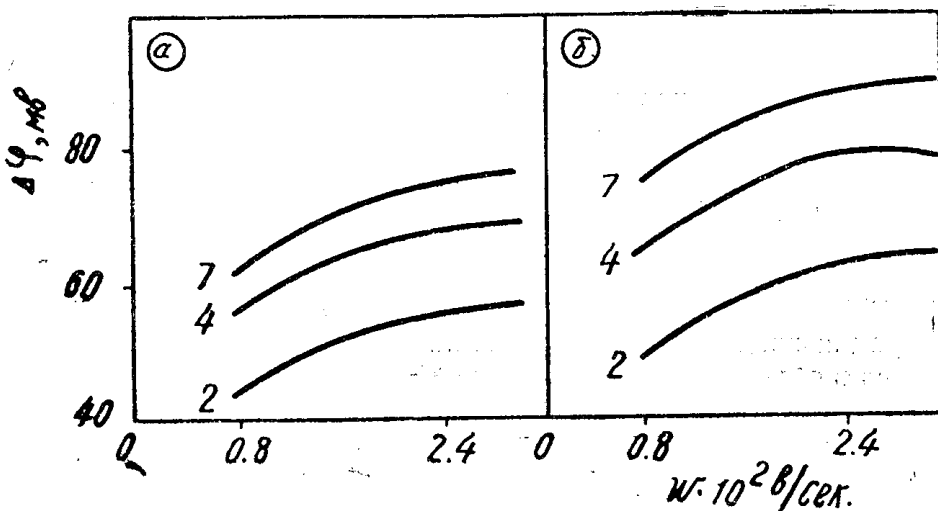


Рис. 4. а — теоретическая и б — экспериментальная зависимости $\Delta\varphi$ от ω ($r_k = 2 \cdot 10^{-2} \text{ см}; 4 \cdot 10^{-2} \text{ см}; 7 \cdot 10^{-2} \text{ см}$).

ЛИТЕРАТУРА

1. De Vries, J. Electroanal. Chem. 9, 448, 1965.
2. М. С. Захаров, В. В. Пнев. Изв. ТПИ, 124, 1967.
3. М. С. Захаров, В. И. Баканов. Изв. ТПИ (в печати),